

# 数学论文集

复旦大学数学系 编

上海科学技术出版社

# 數 學 論 文 集

复旦大学数学系 编

上海科学技术出版社

## 內 容 提 要

本論文集是復旦大學數學系師生在1960年上半年所完成的一部  
分科學研究成果。內容包括54篇數學論文，其中有的是為生產部門解  
決實際問題的總結，有的是大型工程中的數學問題的研究，還有基礎理  
論的研究，論題相當廣泛，成果十分豐富，體現了理論密切聯繫實際的  
方針。可供高等學校、工程技術部門研究參考。

## 數 學 论 文 集

復旦大學數學系 編

\*

上海科學技術出版社出版

(上海瑞金二路450號)

上海市書刊出版業營業許可證出033號

新华书店上海发行所发行 各地新华书店經售

商务印书馆上海厂印刷

\*

开本787×1092 1/18 印張27 10/18 字数564,000

1960年5月第1版印1次印600册

1962年3月第2版 1962年3月第1次印刷

印数 1—8,000

统一书号：13119·363

定 价：(十四) 3.80 元

## 前　　言

本論文集收集了復旦大學數學系師生所寫的58篇科學論文。這些論文是1959年10月到1960年5月期間科學研究成果的一部分，都未曾發表過。

這些論文都是全系師生在黨的領導下，破除迷信、解放思想、密切結合國家建設的需要和教學工作的需要而開展群眾性科學研究的成果。這些論文有的是結合生產實際問題和理論問題的研究，如雙曲線圖上作業法操作規律及理論，典型雙曲型方程組的不連續初值問題等；有的論文如非均勻正交各向異性板撓度方程的一些解法，是解決一系列實際問題後所作出的帶有比較普遍意義的總結；也有一部分論文是繼承發展原有學科的理論研究成果，如多元條件正定廣義函數，論無限連續擬群的不可約一階迷向群等等。所有這些論文，都還有許多不成熟的地方，有待于進一步提高，希望同志們批評和指教。

復旦大學數學系

1960年5月

DAB14/68/27

## 目 录

### 前言

- 典型双曲型方程組的不連續初始值問題 ..... 非綫性偏微分方程小組(1)
- 平面超音速尖头繞流問題 ..... 非綫性偏微分方程小組(17)
- 具間斷系数的准綫性方程 ..... 非綫性偏微分方程小組(29)
- 具間斷系数准綫性方程激波的形成 ..... 非綫性偏微分方程小組(33)
- 拟綫性双曲型方程組的无激波整体解的討論 ..... 非綫性偏微分方程小組(36)
- 一种多变量的拟綫性偏微分方程的柯西問題 ..... 非綫性偏微分方程小組(40)
- 旋轉体在超音速流中具有最小阻力問題 ..... 柳兆榮、苏远生、謝寿鑫(46)
- 含小参数的双曲型方程的混合問題 ..... 江福汝(52)
- 部分高阶导数項含有小参数的二阶綫性方程的退化問題 1955—1960 級方程組(60)
- 高阶导数具有小参数的二阶綫性椭圓型方程的第三邊值問題 .....  
..... 1955—1960 級方程組(65)
- 非均匀正交各向异性板撓度方程的一些解法 1956—1961 級非綫性方程專門化(71)
- 閉胸式盾构的正面阻力 ..... 吳立鵬等(122)
- 直角梯形混凝土墩应力分析 ..... 1956—1961 級方程組(151)
- 算子  $T^n$  的性质及应用举例 ..... 陈傳璋、李明忠、朱學炎(167)
- 二阶非綫性方程稳定性問題的一解 ..... 金福臨、朱家駿等(175)
- 自由等值梁多节点計算和撓度表 ..... 1956—1961 級非綫性方程專門化(183)
- 船舶振动中基本函数的选择和二种能量法的比較 .....  
..... 1956—1961 級非綫性方程專門化(187)
- 底部非剛性的坝体温度应力(平面問題) ..... 1956—1961 級泛函組(205)
- 土坝坝基下孔柱截水墙应力分析 ..... 1956—1961 級泛函組(209)
- 高压輸电架的撓度、强度及稳定性計算 ..... 1956—1961 級方程組(213)
- 架构式汽輪机组基座計算理論 ..... 力学組学生振动理論科研小組(221)
- 双曲綫图上作业法操作規律及理論 ..... 1958—1963 級第一班(243)
- 紡紗配棉問題 ..... 1957—1962 級王震源、宋念慈等(260)
- “公共汽車”模型的排队系統 ..... 陈开明(268)
- $M/E_k/1$  排队系統的队长分布和等待時間分布 ..... 吳立德、陈开明、費榮昌、叶济川(274)

- 多維离散齐次隨机场的線性內插.....陶宗英(283)  
 馬尔可夫过程及其无穷小算子.....吳立德(288)  
 河流及其支流洪水的組合与分解.....1956—1961 級概率論專門化(295)  
 統計分析在紡織工业上的若干应用 ..... 概率論組生产实习队(298)  
 积雪深度的估計.....1956—1961 級概率論專門化(310)  
 非線性抛物型方程数值解 ..... 李立康、吳昌熾(315)  
 用积分关系法解抛物型方程收敛性問題 ..... 李立康、吳昌熾等(326)  
 在重根附近使用牛頓法的收敛性定理.....蔣爾雄(331)  
 線性代数方程組的严格高斯主元法的程序設計.....計算数学程序設計小組(337)  
 矩陣的第一种模为 1 的迭代收敛性定理.....蔣爾雄(343)  
 正交法求逆陣的标准程序設計.....聞人德泰(347)  
 函数化方法.....許自省(352)  
 定点机上浮点运算系統.....程瑞英(369)  
 論无限連續拟群的不可約一阶迷向群.....谷超豪(376)  
 論李-嘉当变换拟群的可約性 ..... 胡和生(394)  
 容許可逆的共形运动的黎曼空間与辛尺度空間.....胡和生(398)  
 完全半可約空間性质的研究 ..... 1955—1960 級几何組(405)  
 包含仿射群的有限連續群.....陳勝凡(410)  
 关于核空間的共轭空間上的分布 ..... 夏道行、严紹宗(413)  
 关于方程  $\frac{\partial U}{\partial z} = AU$  的黎曼存在問題 ..... 1957—1961 級映照組(419)  
 具有无界型特征的拟似共形映照的存在定理.....任福堯(427)  
 量子場論中广义函数的 Paley-Wiener 型定理.....張文泉、吳卓人(433)  
 多元条件正定广义函数.....夏道行、吳卓人、張文泉(437)  
 拟似共形映照中一些极值問題.....何成奇(449)  
 关于  $E_p$  空間的最佳逼近.....周德梅(455)  
 在有限閉区间上用多项式逼近实函数的杰克森定理的改进.....郑 权(460)  
 連續函数用它的蔡查罗平均数来匀迫.....鄒 悅、区銑森、吳靄成(468)  
 飞耶平均与共轭函数.....貝嘉庆、郑 权、秦国强(472)  
 法巴多项式的估計及其在逼近論中的应用.....李鍾魯(480)

# 典型双曲型方程組的不連續初始值問題

非綫性偏微分方程小組

## § 1 引言 預備知識 主要結果

我們考慮的典型双曲型方程組是指空气动力學中一維等熵運動方程組：

$$\begin{cases} \frac{\partial \rho}{\partial t} + \frac{\partial (\rho u)}{\partial x} = 0 \\ \frac{\partial u}{\partial t} + u \frac{\partial u}{\partial x} + \frac{1}{\rho} \frac{\partial p}{\partial x} = 0, \end{cases} \quad (1-1)$$

于此， $t$ ——時間， $x$ ——位置坐标， $\rho$ ——密度， $u$ ——速度， $p=p(\rho)$ ——壓力。

為簡單起見，只考慮完全氣體，即設

$$p = A\rho^\gamma, \quad (\gamma > 1) \quad (1-2)$$

當  $p$  為  $\rho$  的更複雜一些的函數的情況，可以完全同樣的進行討論。同樣的方程在淺水流動中也可遇到。經過拉格朗日坐標變換，可得形如

$$\begin{cases} \frac{\partial u}{\partial t} + \frac{\partial p(\tau)}{\partial x} = 0 \\ \frac{\partial \tau}{\partial t} - \frac{\partial u}{\partial x} = 0 \quad (p'(\tau) < 0) \end{cases} \quad (1-3)$$

的方程組，它在非綫性彈性力學中也有應用。

與線性方程組不同，這些方程組的柯西問題的解甚至當初始條件足夠光滑的時候也可能包含強間斷，因此我們考察具有間斷初始條件的柯西問題，它是非綫性方程理論中的根本問題之一，間斷線兩側的關係由激波的條件來確定。

我們設初始條件為

$$t=0, \quad \rho=\rho_0(x), \quad u=u_0(x), \quad (1-4)$$

于此， $\rho_0(x)$ 、 $u_0(x)$  是在  $x>0$  及  $x<0$  時充分光滑的函數，在  $x=0$  時有第一類間斷點。本文研究方程(1-1)在初始條件(1-4)下的間斷介在原點附近的構造，指出可能發生的各種情況並給出決定激波的方法。在初始條件是常數但在一點有間斷的情況，這樣的問題稱為“黎曼問題”，在 Courant-Friedrichs 的書<sup>(1)</sup> 上已有了完滿的解答。間斷解的唯一性已為 Годунов<sup>(2)</sup>，Олейник<sup>(3)</sup>，Рождественский<sup>(4)</sup> 等人所

研究，故不再加以考虑。

我們研究的方程組是等熵运动的方程組，所决定的激波还不是真正的气体动力学中的激波（因为气体越过激波时熵要增加），但对弱激波而言，熵的改变是很微小的（对于压力、密度的变化为三阶无穷小），故仍不失为是一个很好的近似，而淺水流動中所产生的不連續波正是我們所研究的情况，这是水利工程所必須考慮的。自然，我們現在所得到的結果还只是闡明一些最典型的情况，实际上对不稳定流往往采取較复杂一些的 Saint Venant 方程，不过，这里的某些結果也有助于理解那时的情况。

方程組 (1-1) 是可化約系統。因此我們主要应用速度图的方法化为綫性方程組来研究。

方程組 (1-1) 的黎曼不变量为

$$2r = u + \frac{2c}{\gamma - 1}, \quad 2s = -u + \frac{2c}{\gamma - 1} \quad (1-5)$$

于此  $c$  为音速

$$c = \left( \frac{dp}{d\rho} \right)^{1/2} = \sqrt{A\gamma \rho^{\frac{\gamma-1}{2}}} \quad (1-6)$$

在以下的討論中，我們有时用黎曼不变量把方程組 (1-1) 化为下列形式：

$$\begin{cases} \frac{\partial r}{\partial t} + (u + c) \frac{\partial r}{\partial x} = 0 \\ \frac{\partial s}{\partial t} + (u - c) \frac{\partial s}{\partial x} = 0 \end{cases} \quad (1-7)$$

于此

$$\begin{cases} u = r - s \\ c = \frac{\gamma-1}{2}(r+s) \end{cases} \quad (1-8)$$

对于使  $r_s s_t - r_t s_s \neq 0$  的解，可用速度图化为  $(r, s)$  平面上的綫性方程組：

$$\begin{cases} x_r = (u - c)t_r = \left( r - s - \frac{\gamma-1}{2}(r+s) \right)t_r \\ x_s = (u + c)t_s = \left( r - s + \frac{\gamma-1}{2}(r+s) \right)t_s \end{cases} \quad (1-9)$$

由綫性方程組 (1-9) 滿足  $x_r t_s - x_s t_r \neq 0$  的解就可以得到 (1-7) (即 (1-1)) 的解。因此我們能把有关方程組 (1-1) 的問題化到綫性方程組 (1-9) 的相应問題来解决。

在不連續解的不連續綫（激波）两侧，應該滿足一定条件，在我們的情况下它标志着越过激波要保持质量守恒，动量守恒和能量轉化的規律<sup>①</sup>。設不連續綫的

<sup>①</sup> 这是指在发生激波时部分机械能轉化为热能的現象。

斜率为  $\frac{dx}{dt}$ , 不連續綫两边的状态分別用下标“0”和“1”来表示。

越过激波的质量守恒和动量守恒規律可表示为:

$$\rho_0 \left( u_0 - \frac{dx}{dt} \right) = \rho_1 \left( u_1 - \frac{dx}{dt} \right) \quad (1-10)$$

$$(\rho_0 u_0) \left( u_0 - \frac{dx}{dt} \right) - (\rho_1 u_1) \left( u_1 - \frac{dx}{dt} \right) = p_0 - p_1 \quad (1-11)$$

記

$$v_0 = u_0 - \frac{dx}{dt}, \quad v_1 = u_1 - \frac{dx}{dt}$$

这些条件又可表示为

$$\rho_0 v_0 = \rho_1 v_1 = m \quad (1-12)$$

$$m v_0 + p_0 = m v_1 + p_1 \quad (1-13)$$

从(1-10)或(1-12)式中解出  $\frac{dx}{dt}$ , 可得

$$\frac{dx}{dt} = \frac{\rho_1 u_1 - \rho_0 u_0}{\rho_1 - \rho_0}, \quad (1-14)$$

或用黎曼不变量  $r, s$  表示为:

$$\frac{dx}{dt} = \frac{(r_1 + s_1)^{\frac{2}{\gamma-1}} (r_1 - s_1) - (r_0 + s_0)^{\frac{2}{\gamma-1}} (r_0 - s_0)}{(r_1 + s_1)^{\frac{2}{\gamma-1}} - (r_0 + s_0)^{\frac{2}{\gamma-1}}}, \quad (1-15)$$

从(1-12)(1-13)中消去  $m$ , 可得

$$(p_0 - p_1) (\tau_0 - \tau_1) = m (v_1 - v_0) (\tau_0 - \tau_1) = (v_1 - v_0) (v_0 - v_1)$$

于此

$$\tau = \frac{1}{\rho}$$

即

$$v_1 - v_0 = v_1 - v_0 = \pm \sqrt{[p(\tau_0) - p(\tau_1)] (\tau_1 - \tau_0)} \quad (1-16)$$

在完全气体时,  $p = A\rho^\gamma = A\tau^{-\gamma}$  此关系式为

$$v_1 - v_0 = \pm \sqrt{A(\tau_0^{-\gamma} - \tau_1^{-\gamma}) (\tau_1 - \tau_0)} \quad (1-17)$$

它是两状态可用激波連結的条件。

若令  $c' = \frac{2c}{\gamma-1}$ , 它可写为:

$$v_1 - v_0 = \pm \frac{\gamma-1}{\sqrt{\gamma}} \sqrt{\left( c_0^{\frac{2\gamma}{\gamma-1}} - c_1^{\frac{2\gamma}{\gamma-1}} \right) \left( c_1^{\frac{2}{1-\gamma}} - c_0^{\frac{2}{1-\gamma}} \right)} \quad (1-18)$$

用黎曼不变量  $r, s$  来表示, 此条件可写为

$$(r_1 - s_1) - (r_0 - s_0)$$

$$= \pm \frac{\gamma-1}{\sqrt{\gamma}} \sqrt{\left[ (r_0 + s_0)^{\frac{2\gamma}{\gamma-1}} - (r_1 + s_1)^{\frac{2\gamma}{\gamma-1}} \right] \left[ (r_1 + s_1)^{\frac{2}{\gamma-1}} - (r_0 + s_0)^{\frac{2}{\gamma-1}} \right]} \quad (1-19)$$

另外越过激波时应成立条件:

$$u_- \geq u_+, \quad (1-20)$$

即间断线右方的速度应不超过左方的速度(我们以“-”表示左边的状态,以“+”表示右边的状态),这是由于熵增加或机械能减少所致。因此凡能和左方状态( $u_-, c_-$ )用激波连接的状态应满足

$$u - u_- = -\frac{\gamma-1}{\sqrt{\gamma}} \sqrt{(c'_-)^{\frac{2\gamma}{\gamma-1}} - (c')^{\frac{2\gamma}{\gamma-1}})(c'^{\frac{2}{1-\gamma}} - c'_-)^{\frac{2}{1-\gamma}}} \quad (1-21)$$

在( $u, c$ )平面上固定一点( $u_-, c_-$ ), (1-21)所表示的曲线如图1所示,称为激波极线。

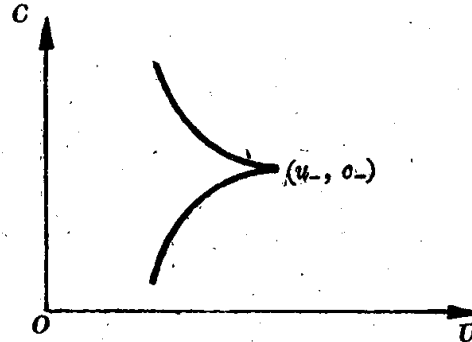


图 1

同理,凡能和左方状态( $r_-, s_-$ )用激波连接的状态应满足

$$(r-s) - (r_- - s_-) = -\frac{\gamma-1}{\sqrt{\gamma}} \sqrt{[(r_- + s_-)^{\frac{2\gamma}{\gamma-1}} - (r+s)^{\frac{2\gamma}{\gamma-1}}][(r+s)^{\frac{2}{\gamma-1}} - (r_- + s_-)^{\frac{2}{\gamma-1}}]} \quad (1-22)$$

同理凡能和右方状态( $u_+, c_+$ )用激波连接的状态应满足

$$u - u_+ = \frac{\gamma-1}{\sqrt{\gamma}} \sqrt{(c'_+)^{\frac{2\gamma}{\gamma-1}} - (c')^{\frac{2\gamma}{\gamma-1}})(c'^{\frac{2}{1-\gamma}} - c'_+)^{\frac{2}{1-\gamma}}} \quad (1-21')$$

它在( $u, c$ )平面上的图像如图2所示。

又凡能和右方状态( $r_+, s_+$ )用激波连接的状态应满足

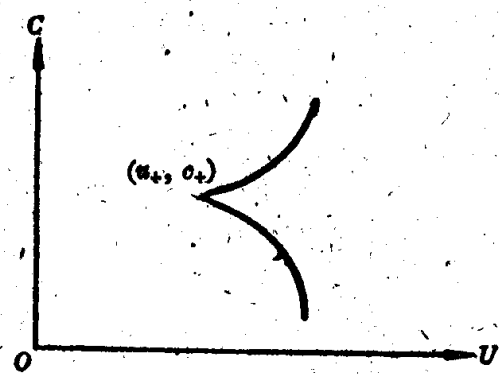


图 2

$$(r-s) - (r_+ - s_+) = -\frac{\gamma-1}{\sqrt{\gamma}} \sqrt{[(r_+ + s_+)^{\frac{2\gamma}{\gamma-1}} - (r+s)^{\frac{2\gamma}{\gamma-1}}][(r+s)^{\frac{2}{\gamma-1}} - (r_+ + s_+)^{\frac{2}{\gamma-1}}]} \quad (1-22')$$

在黎曼問題的情况，即在初始条件为常数但有間断的情形問題的解由一些常态通过激波或中心扩散波（中心单波）来联結所构成。通过激波連接的条件已如上所述，通过中心扩散波連接的条件应为

$$r = \text{const} \text{ 或 } s = \text{const}, \quad (1-23)$$

即  $u + \frac{2c}{\gamma-1} = \text{const}$  或  $u - \frac{2c}{\gamma-1} = \text{const}, \quad (1-24)$

同时，通过中心扩散波时要成立

$$u_+ \geq u_-, \quad (1-25)$$

因此，凡能和  $(u_-, c_-)$  用中心扩散波連接的状态可用图 3a 所示的二直线所示。

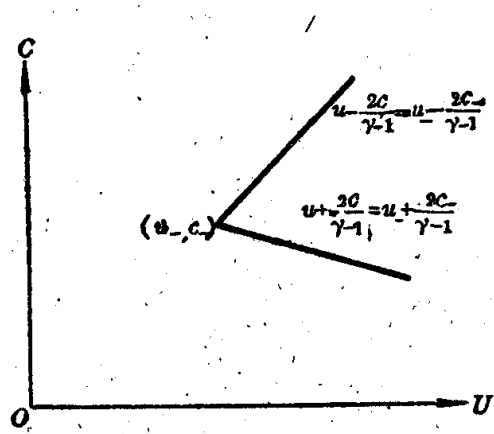


图 3

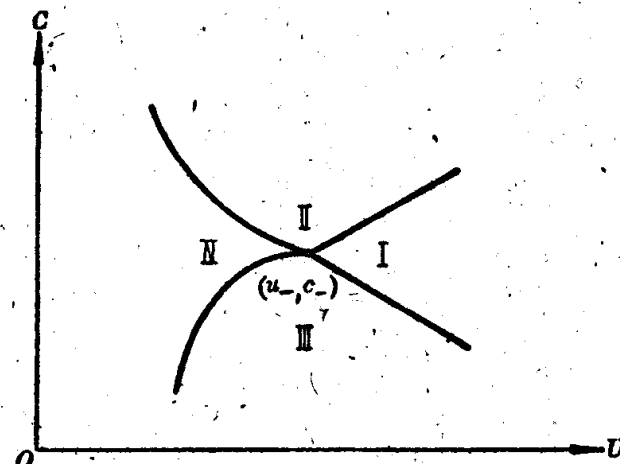


图 4

合并图 1 和图 3，可以得到图 4，它把  $(u, c)$  平面分为四个区域。在黎曼問題的情况已經證明：当右方的初始值  $(u_+, c_+)$  落在第一个区域中时，解可由一些常态通过两个中心扩散波来联結，得到弱間断（因而是連續的）解，特別  $(u_+, c_+)$  落在第一区域的两边界上的时候，解只要用一个中心扩散波联結就行。当  $(u_+, c_+)$  落在第二、第三区域中的时候，解可由一些常态通过一个激波和一个中心扩散波来联結，特別当  $(u_+, c_+)$  落在第二、第三的另一条边界上时，解只要用一个激波来联結，此时得到不連續解。当  $(u_+, c_+)$  落在第四区域中的时候，解可由一些常态通过两个激波来联結，此时仍得到不連續解。

在本文中，我們按初始值的左方极限  $(u_0(-0), c_0(-0))$  同样可以作出图 4，并对初始值之右方极限  $(u_0(+0), c_0(+0))$  落在第 I 区域，第 II 或第 III 区域及第 IV 区域的情况分別加以討論得到如下的結果：

(1) 設初始值的右方极限  $(u(+0), c(+0))$  落在如图所示的第 I 区域中，即有

$$r_0(+0) \geq r_0(-0), \quad s_0(+0) \leq s_0(-0) \quad (1-26)$$

$(r_0(x), s_0(x))$  是  $t=0$  时  $(r, s)$  的初始值。

此时是間断消失的情况，即在  $t > 0$  处，存在着連續的（但可能有弱間断）局部解。此解可在速度图平面上解三个古尔沙問題而得到。

当初始值的右方极限落在第一区域的边界上时，同样的結果也成立，但解古尔沙問題的个数将减少。

(2) 設初始值的右方极限  $(u(+0), c(+0))$  落在如图所示的第 II, 第 III 区域中，此时方程在原点出現包含一个激波的局部解：除个别情况外，激波的决定可归結为速度图平面上的綫性双曲型方程組 (1-9) 的不定边界問題。在两根边界中有一根为固定的特征綫，在其上給定  $t$  的数值，在未定边界上要滿足如下的两个边界条件：

$$H(t, x, r, s) = 0, \quad \frac{dx}{dt} = R(t, x, r, s) \quad (1-27).$$

这两根边界間无特征綫。

此不定边界問題的局部解是存在的，且可由解一組非綫性微积分方程組而得到。

特別当初始值在原点的左方极限落在第 II、第 III 区域的左边边界上时，也成立同样的結論。这說明一經发生激波以后，如无其他的干扰，激波的状态可以繼續下去。

(3) 設初始值的右方极限  $(u(+0), c(+0))$  落在如图所示的第 IV 区域中时，方程在原点附近会出现包含两个激波的局部解，在大部分情况下，它同样可化为速度图平面上解方程組 (1-9) 的不定边界問題，但此时两个边界都是不定的，它們間沒有特征綫，在上面都有形状为 (1-27) 的边界条件。此不定边界問題可化为一組含有某一类型的有限方程的微积分方程組来解决。在一定条件下，这一方程組的解是存在的。

## § 2. 間断消失的情况

我們首先考慮初始值之右方极限落在第一个区域中的情形，此时应有

$$r_0(-0) \leq r_0(+0), \quad s_0(-0) \geq s_0(+0) \quad (2-1)$$

这里  $r_0, s_0$  表示初始函数，即  $t=0$  时  $r, s$  应采取的数值。

这时，我們要証明如下的事實：

方程組 (1-1) 在滿足 (2-1) 的初始条件下，在  $0 < t < h$  的范围内 ( $h$  适当小的正数) 必有一解，此解在  $t > 0$  为連續，但可能有弱間断。

我們先依  $x > 0$  及  $x < 0$  的初始条件來解柯西問題，由拟綫性双曲型方程組局部解的存在定理，可在如图 5 的区域 I, II 中各得到一解，于此  $OA, OB$  分別为特

特征线,  $OA$  为第一类特征线 (其斜率为  $\frac{dx}{dt} = u + c$ )  $OB$  为第二类特征线 (其斜率为  $\frac{dx}{dt} = u - c$ )。利用解作速度图, 为方便计, 我们在  $(u, c)$  平面上作速度图, 这时两族特征线分别为

$$u + \frac{2c}{\gamma-1} = \text{const.} \text{ 及 } u - \frac{2c}{\gamma-1} = \text{const}$$

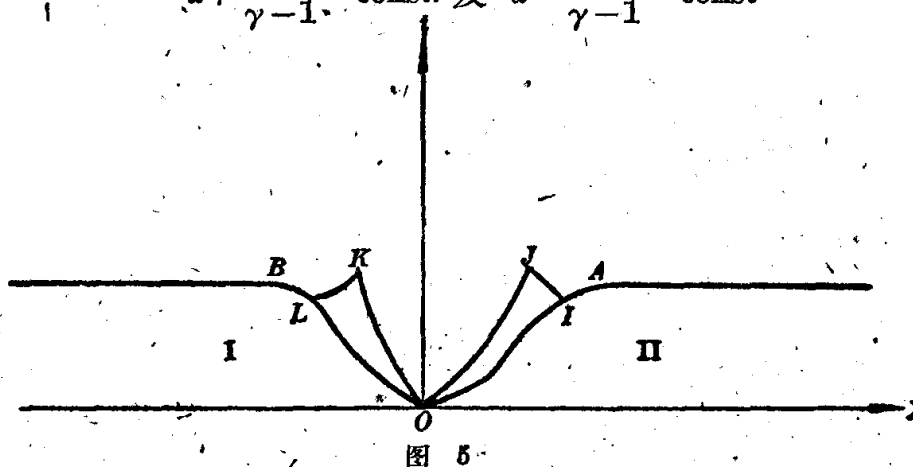


图 5

由于  $O$  点为初始条件第一类间断点, 故其速度图线为两点, 设依  $r_0(-0), s_0(-0)$  所决定的点为  $O'$ , 依  $r_0(+0), s_0(+0)$  所决定的点为  $O''$ 。在条件(2-1)下, 显然可見,  $O''$  落在图 6 中所示的区域内。设  $A, B$  的速度图分别为  $A', B'$  ( $A', B'$  也可能重合于  $O''$  或  $O'$ , 这时可利用中心“单波”来代替下文中所说的古尔沙問題) 则

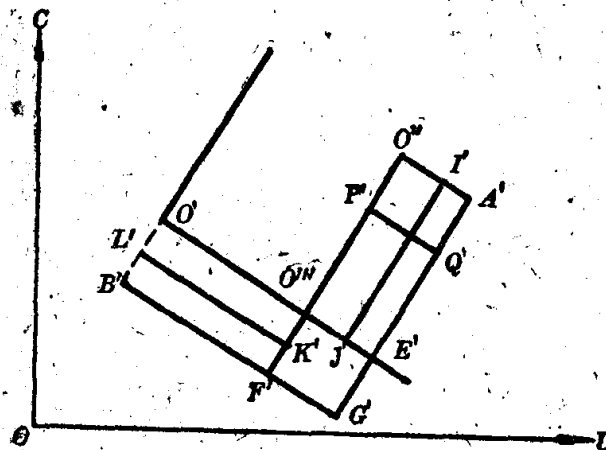


图 6

$O''A'$  与  $O'B'$  分别为第一类或第二类特征线。过  $O'$  点作第一类特征线与过  $O''$  点的第二类特征线交于  $O'''$  点, 由(1-8)(1-9)可知在  $(u, c)$  平面上可作出对应的方程组

$$\begin{aligned} -x_u + \frac{\gamma-1}{2}x_c &= (u+c)\left(-t_u + \frac{\gamma-1}{2}t_c\right) \\ x_u + \frac{\gamma-1}{2}x_c &= (u-c)\left(-t_u + \frac{\gamma-1}{2}t_c\right) \end{aligned} \quad (2-2)$$

这是一个双曲型方程組，以  $u + \frac{2c}{\gamma-1} = \text{const}$ ,  $u - \frac{2c}{\gamma-1} = \text{const}$  为特征綫。我們令  $O'O''', O''O'''$  上  $t=0, x=0$ , 而  $O''A'$  上  $t, x$  的数值为由特征綫  $OA$  所确定,  $O'B'$  上  $t, x$  的数值为由特征綫  $OB$  所确定, 那末可依这些边界条件, 解区域  $O''A'E'O'''$  及区域  $O'O'''F'B'$  的古尔沙問題, 于此  $A'E', O'''E', O'''F', F'B'$  均为特征綫。本来古尔沙問題只須知道各特征綫上一个未知函数的数值就够了, 但由于現在所給的两个未知函数的数值是相容的, 故不会影响解的存在性, 这样就能作出在这二个区域中的解, 因而得到在  $O'''E', O'''F'$  上函数  $t, x$  的数值, 依这些数值, 再解区域  $O'''E'G'F'$  中的古尔沙問題, 于此  $G'E', F'G'$  也为特征綫, 就得到在区域  $O'''E'G'F'$  中的解。

我們来看解  $t=t(u, c), x=x(u, c)$  在  $(t, x)$  平面上的图象,  $O'', O'''$  的象为点  $O$ , 作第一类特征綫  $P'Q'$ , 沿着它們  $\frac{dx}{dt} = u+c$ , 它在  $(t, x)$  平面上的象应为过  $O$  点的一根特征綫, 当  $P'$  自  $O''$  向  $O'''$  移动时,  $u + \frac{\gamma-1}{2}c$  单調减少, 而在  $O''O'''$  上  $u - \frac{\gamma-1}{2}c = \text{const}$ , 因此沿  $O''O'''$  線  $\frac{dx}{dt} = u+c$  亦是单調减少的, 因此必存在特征綫  $I'J'$  使得区域  $O''I'J'O'''$  在  $t, x$  平面上的象  $OIJ$  为单叶的, 且在  $OA$  之左。同样, 存在区域  $O'O'''F'B'$  中的特征綫段  $K'L'$ , 使区域  $O'L'K'O'''$  的象  $OKL$  为单叶的, 且在  $OB$  之右。又沿  $O''K'$ ,  $\frac{dx}{dt} = u-c$ , 沿  $O''J'$ ,  $\frac{dx}{dt} = u+c$ , 故  $OK$  必在  $OJ$  之左。由此也可以見到, 区域  $O'''E'G'F'$  在  $O'''$  点近旁一个范围内在  $(t, x)$  平面上的象必为曲綫  $OJ, OK$  之某一段所圍成的区域, 只要初始函数  $r=r_0(x), s=s_0(x)$  在  $(0, 0)$  点的左右极限均不为  $\infty$ , 則可証  $J = \frac{\partial(t, x)}{\partial(r, s)}$  在  $O'''$  点不等于 0。这样, 速度图法就有效, 这就証明了我們所要求的結果。

(注1) 我們所作的图形也有可能伸延到  $c < 0$  的部分, 这时会发生所謂逸速現象。

遇到有这样的区域, 我們就以  $c=0$  来代替, 而不再解古尔沙問題到整个区域。更具体的說, 如  $F'$  或  $E'$  在  $c < 0$  部分, 而  $O'''$  在  $c > 0$  部分, 我們的作法事实上沒有什麼問題, 当  $O'''$  也在  $c < 0$  时, 我們可作  $O'M'S'B'$  区域中  $O'M'$  近旁在  $(t, x)$  平面上的像, 也可以作  $O''N'T'A'$  区域中  $O''N'$  近旁在  $(t, x)$  平面上的像, 而  $O$  的在  $t > 0$  的邻域中未被掩盖的部分为逸速的区域, 在这个区域中为  $c=0$ , 力学意义是出現真空。

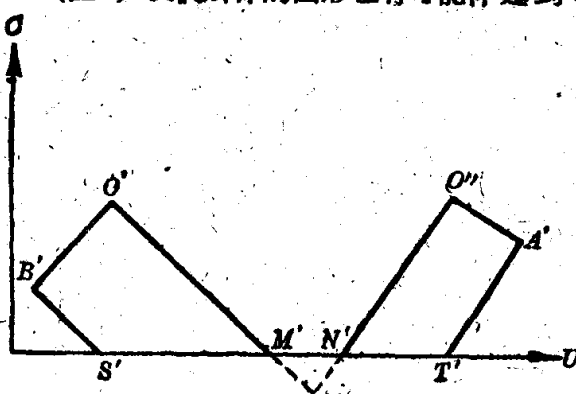


圖 7

(注2) 也有可能  $A'$  在  $O''$  的另一侧, 这时区域  $O'''E'G'F'$  与区域  $O'O'''F'B'$  有公共部分, 但这并不妨碍解的制作, 只是速度图发生了折迭, 但在  $(t, x)$  平面上的像仍为图 5 的情形而不受影响。

(注3)  $O'\theta''$  二者之一有可能重合于  $O'''$ , 这时只須解二次古尔沙問題就可以制作出局部解来。

### § 3 产生一个激波的情况

現在我們考慮初值之右方极限  $(u_0(+0), c_0(+0))$  落在图 4 的第 II 或第 III 区域中的情况。和 §2 中一样,

我們先依  $x > 0$  及  $x < 0$  之初始条件来解柯西問題, 可在如图 8 所示的区域 I, II 中各得一局部解。同样在  $(u, c)$  平面上考虑速度图, 設依  $(u_0(-0), c_0(-0))$  所决定的点为  $O'$ , 依  $(u_0(+0), c_0(+0))$  所决定的点为  $O''$ , 按

条件,  $O''$  落在如图 9 所示的区域內。設  $OA$  之像为特征綫  $O''A'$ , 与 §2 中一样, 我們過  $O''$  点作第二类特征綫与过  $O'$  点的激波极綫交于  $O'''$  点。我們令  $O''O'''$

上  $t=0, x=0$ , 而  $O''A'$  上  $t, x$  的数值由特征綫  $OA$  所确定, 可在区域  $O''O'''E'A'$  中解古尔沙問題, 于此  $O'''E', A'E'$  为特征綫。不妨碍一般性, 所得的解在  $(x, t)$  平面上的像  $OAE$  是单叶的, 且在  $OA$  之左。从图 9 可見,  $O', O'''$  能用激波連結。为了构造我們問題的解, 設想在  $(x, t)$  平面上通

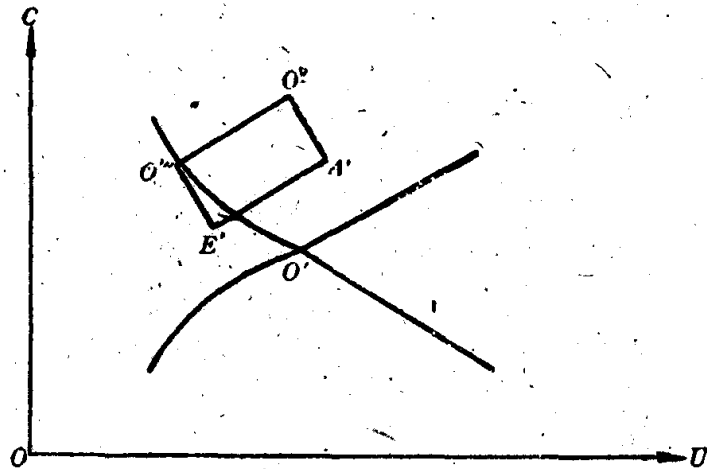


图 8

过  $O$  点有一間断綫, 其方程为  $x=x(t)$ ; 为使此間断綫能衔接  $O'''$  与  $O'$  两点, 其在原点之斜率, 必須由公式(1-14)用  $O', O'''$  所規定之  $(\rho, u)$  之值代入去确定。根据在間断綫的一側是超音速, 另一侧是亚音速的性质, 可知在間断綫的左边可作二根向下的特征綫而在右侧只有一根向上的特征綫, 因此此間断綫虽未确定, 但一定在区域 I 的内部。設在区域 I 中原有的局部解为  $r_-(x, t), s_-(x, t)$ , 在間断綫之左侧

仍采用此解, 则越过间断线后在间断线右侧的  $r$  和  $s$  之值可由公式(1-15)和(1-22)所决定。

求方程(1-1)的间断解的问题归结为解决如下的不定边界问题: 对方程组(1-7), 在固定边界  $OE$  (特征线) 上取已确定的  $r$  (或  $s$ ) 的数值, 在不定边界  $x=x(t)$  上, 取由(1-15)和(1-22)所决定的  $r$  和  $s$  的数值。它们之间无特征线。

要解决如此的不定边界问题, 采用速度图是很方便的。我们在  $(r, s)$  平面上考虑方程组

$$\begin{cases} x_r = (u - c) t_r = \left(r - s - \frac{\gamma-1}{2}(r+s)\right) t_r \\ x_s = (u + c) t_s = \left(r - s + \frac{\gamma-1}{2}(r+s)\right) t_s \end{cases} \quad (3-1)$$

的不定边界问题: 在两根边界中有一根为固定的特征线  $r=r_0$ , 在其上给定

$$t=t(s), \quad (t(s_0)=0). \quad (3-2)$$

另一根为不定边界  $r=\varphi(s)$ ,  $r_0=\varphi(s_0)$ , 在其上有两个边界条件:

$$H(t, x, r, s) = 0, \quad \frac{dx}{dt} = R(t, x, r, s), \quad x(r_0, s_0) = 0, \quad (3-3)$$

它们之间无特征线。

如果  $r=r_0$  和  $t=t(s)$  是由  $OE$  线上的值所确定, 而  $H$  和  $R$  能由(1-15)及(1-22)利用  $r_-(x, t)$ ,  $s_-(x, t)$  所决定, 也就是(3-3)可分别写为:

$$\begin{aligned} H(t, x, r, s) &= (r-s) - (r_-(x, t) - s_-(x, t)) \\ &+ \frac{\gamma-1}{\gamma} \sqrt{[(r_-(x, t) + s_-(x, t))^{\frac{2\gamma}{\gamma-1}} - (r+s)^{\frac{2\gamma}{\gamma-1}}]} [(r+s)^{\frac{2}{\gamma-1}} - (r_-(x, t) + s_-(x, t))^{\frac{2}{\gamma-1}}] \\ &= 0 \end{aligned} \quad (3-4)$$

$$\frac{dx}{dt} = R(t, x, r, s) = \frac{(r+s)^{\frac{2}{\gamma-1}}(r-s) - (r_-(x, t) + s_-(x, t))^{\frac{2}{\gamma-1}}(r_-(x, t) - s_-(x, t))}{(r+s)^{\frac{2}{\gamma-1}} - (r_-(x, t) + s_-(x, t))^{\frac{2}{\gamma-1}}} \quad (3-5)$$

则方程组(3-1)的不定边界问题的解如果存在且满足

$$J = x_r t_s - x_s t_r \neq 0, \quad (3-6)$$

则它在  $(x, t)$  平面上的映象, 就是上述方程组(1-1)的不定边界问题的解。

现在来解决方程组(3-1)的不定边界问题。从(3-1)消去  $x$  可得

$$t_{rs} + \frac{m}{r+s}(t_r + t_s) = 0. \quad (3-7)$$

此为 Euler-Poisson 方程。以  $v(r_1, s_1; r, s)$  表示方程(3-7)的黎曼函数, 它以  $(r, s)$  为参数, 对变元  $r_1, s_1$  满足方程

$$v_{r_1 s_1} - \frac{\partial}{\partial r_1} \left( \frac{m}{r_1 + s_1} v \right) - \frac{\partial}{\partial s_1} \left( \frac{m}{r_1 + s_1} v \right) = 0$$

和边界条件  $r_1 = r, v(r, s_1; r, s) = \exp \int_s^{s_1} \frac{m}{r+s_1} ds_1$   
 $s_1 = s, v(r_1, s; r, s) = \exp \int_r^{r_1} \frac{m}{r_1+s} dr_1$

大家知道此黎曼函数可表示为高斯超越几何級數的形式。

由于假設  $t(r_0, s_0) = 0$ , 方程(3-7)的一般解的表达式为

$$t(r, s) = \int_{r_0}^r v(\tau, s_0; r, s) \Phi(\tau) d\tau + \int_{s_0}^s v(r_0, \tau; r, s) \Psi(\tau) d\tau \quad (3-8)$$

其中  $\Phi(\tau), \Psi(\tau)$  为任意函数。

由此可得

$$\left. \begin{aligned} t_r(r, s) &= v(r, s_0; r, s) \Phi(r) + \int_{r_0}^r \frac{\partial v}{\partial r}(\tau, s_0; r, s) \Phi(\tau) d\tau \\ &\quad + \int_{s_0}^s \frac{\partial v}{\partial r}(r_0, \tau; r, s) \Psi(\tau) d\tau \\ t_s(r, s) &= v(r_0, s; r, s) \Psi(s) + \int_{r_0}^r \frac{\partial v}{\partial s}(\tau, s_0; r, s) \Phi(\tau) d\tau \\ &\quad + \int_{s_0}^s \frac{\partial v}{\partial s}(r_0, \tau; r, s) \Psi(\tau) d\tau \end{aligned} \right\} \quad (3-9)$$

再由(3-1)可得

$$\begin{aligned} x_r(r, s) &= \left[ (r-s) - \frac{\gamma-1}{2}(r+s) \right] \left\{ v(r, s_0; r, s) \Phi(r) \right. \\ &\quad \left. + \int_{r_0}^r \frac{\partial v}{\partial r}(\tau, s_0; r, s) \Phi(\tau) d\tau + \int_{s_0}^s \frac{\partial v}{\partial r}(r_0, \tau; r, s) \Psi(\tau) d\tau \right\} \\ x_s(r, s) &= \left[ (r-s) + \frac{\gamma-1}{2}(r+s) \right] \left\{ v(r_0, s; r, s) \Psi(s) \right. \\ &\quad \left. + \int_{r_0}^r \frac{\partial v}{\partial s}(\tau, s_0; r, s) \Phi(\tau) d\tau + \int_{s_0}^s \frac{\partial v}{\partial s}(r_0, \tau; r, s) \Psi(\tau) d\tau \right\} \end{aligned} \quad (3-10)$$

由于  $x(r_0, s_0) = 0$  可得

$$\begin{aligned} x(r, s) &= \int_{r_0}^r \left[ \alpha - s_0 - \frac{\gamma-1}{2}(\alpha+s_0) \right] \left\{ \Phi(\alpha) + \int_{r_0}^\alpha \frac{\partial v}{\partial r}(\tau, s_0; \alpha, s_0) \Phi(\tau) d\tau \right\} d\alpha \\ &\quad + \int_{s_0}^s \left[ (r-\beta) + \frac{\gamma-1}{2}(r+\beta) \right] \left\{ v(r_0, \beta; r, \beta) \Psi(\beta) \right. \\ &\quad \left. + \int_{r_0}^r \frac{\partial v}{\partial s}(\tau, s_0; r, \beta) \Phi(\tau) d\tau + \int_{s_0}^\beta \frac{\partial v}{\partial s}(r_0, \tau; r, \beta) \Psi(\tau) d\tau \right\} d\beta \end{aligned} \quad (3-11)$$

为要滿足边界条件, 由(3-2)可得

$$\int_{s_0}^s v(r_0, \tau; r_0, s) \Psi(\tau) d\tau = t(s). \quad (3-12)$$

把(3-3)的第一式沿  $r = \varphi(s)$  微分, 得到沿  $r = \varphi(s)$  应有